文章编号:1003-2754(2023)11-1040-05

doi:10. 19845/j. cnki. zfysjjbzz. 2023. 0224

# SOD1基因 p. H44R 罕见位点突变致肌萎缩 侧索硬化症 1 例报告并文献复习

王雅欢, 杨 偲, 刘洪雨, 何金婷, 王姣琦

摘 要: 目的 探讨 SOD1 基因常见突变位点的临床特点,为肌萎缩侧索硬化症(ALS)的早期识别、诊断及病程评估提供帮助。方法 回顾性分析 1 例 SOD1 基因第二外显子 c.131A>G:p.H44R 突变致 ALS 患者的临床资料及基因检测结果,并结合文献讨论。结果 本例患者以右下肢疼痛、无力伴肌肉萎缩起病,感觉系统无阳性体征,肌电图提示未受累肢体出现亚临床的神经源性改变,经全外显子测序发现 SOD1 基因第二外显子 c.131A>G:p.H44R 突变,该变异为罕见变异。结论 ALS 早期诊断困难,不同基因位点突变致 ALS 的临床表现存在差异。基因检测可辅助诊断,在疾病早期具有一定鉴别意义。

关键词: 肌萎缩侧索硬化; 运动神经元病; 临床分型; 基因型

中图分类号: R744.8 文献标识码: A

Amyotrophic lateral sclerosis caused by a rare mutation in the SOD1 gene at p. H44R locus: a case report and literature review WANG Yahuan, YANG Si, LIU Hongyu, et al. (Fourth Inpatient Area of Department of Neurology, China-Japan Union Hospital of Jilin University, Changchun 130033, China)

Abstract: Objective This study aims to explore the clinical characteristics of common mutation sites in the SOD1 gene and provide assistance for the early identification, diagnosis, and course evaluation of amyotrophic lateral sclerosis (ALS). Methods The clinical data and genetic testing results of a patient with ALS caused by the c.131A>G:p.H44R mutation in the second exon of the SOD1 gene were retrospectively analyzed and discussed in conjunction with the literature. Results The patient presented with pain and weakness in the right lower limb accompanied by muscle atrophy. No positive signs were observed in the sensory system. The electromyogram revealed subclinical neurogenic changes in the unaffected limbs. Whole-exome sequencing identified a rare mutation in exon c.131A>G:p.H44R of the SOD1 gene. Conclusion Early diagnosis of ALS is challenging, and the clinical manifestations vary depending on the gene site mutations. Genetic testing can assist in diagnosis and has significant identification value in the early stages of the disease.

Key words: Amyotrophic lateral sclerosis; Motor neuron disease; Clinical classification; Genotype

运动神经元病(motor neuron disease, MND)是一 组起病隐匿的慢性进行性神经系统变性疾病,病因 尚不十分清楚,可能与遗传或环境因素相关。该病 主要侵犯大脑皮质锥体细胞、脑干运动神经核及脊 髓前角运动神经元。肌萎缩侧索硬化症(amyotrophic lateral sclerosis, ALS)是最常见的一种,根据 是否有家族史分为家族性肌萎缩硬化症(familial amyotrophic lateral sclerosis, fALS)和散发性肌萎缩硬 化症(sporadic amyotrophic lateral sclerosis, sALS)。该 病的早期表现是进行性肌萎缩、肌无力和延髓麻痹, 最终常累及呼吸肌导致呼吸衰竭死亡。5%~10%的 患者有家族史,但大多数患者的病因仍不清楚[1]。 该病不可逆转,且缺乏有效治疗手段,其诊断为排除 性诊断,需与表现相似的其他运动神经元病相鉴 别[2],早期诊断困难。现将吉林大学中日联谊医院 神经内科收治的1例以右下肢疼痛、无力为首发症 状,通过肌电图及全外显子测序诊断的SOD1罕见位 点突变致 ALS 病例进行回顾分析及文献复习,希望 对该病在临床上的早期诊断及预后评估有所帮助。

### 1 病例资料

患者,男,40岁,因右下肢疼痛5个月,无力4个月,于2022年2月入院,5个月前接种疫苗后出现右下肢肌肉酸痛,因未影响肢体活动而未在意,4个月前出现右下肢无力、肉跳,逐渐发展并出现臀部、大腿及小腿肌肉萎缩,服用B族维生素类药物后症状未见缓解,近期使用筋膜枪理疗,下肢无力的症状仍逐渐加重,人院前20d出现右腿上台阶费力,其余肢体无明显异常。病程中患者无头晕、无智能减退、无动作迟缓、无腰部疼痛、无舌肌萎缩、无吞咽及呼吸困难,体重未见明显变化。既往无基础疾病。家族史:患者堂哥及2个姑姑被诊断为"运动神经元病",但均已过世,无法提供临床资料及相关检查结果。患者父亲因肺癌于48岁去世(患者家系图见图1)。

收稿日期:2023-05-16:修订日期:2023-09-12

基金项目: 吉林省教育厅科学研究项目(JJKH20221081KJ)

作者单位:(吉林大学中日联谊医院神经内科四病区,吉林 长春 130033)

通信作者:王姣琦,E-mail:wangjiaoqi111@jlu.edu.cn

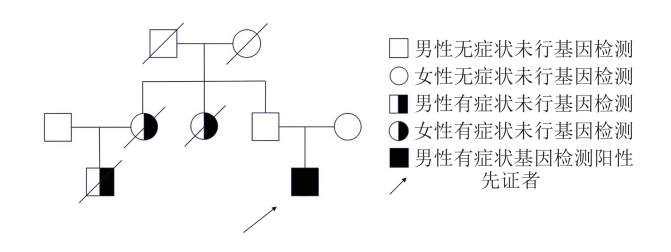


图1 患者家系图

入院后神经系统查体:意识清楚,颅神经查体未见明显异常,右下肢屈髋肌力2级,伸髋肌力3级,屈膝肌力3级,伸膝肌力4级,远端背屈肌力2级,跖屈肌力4级,余肢体肌力未见异常,右下肢肌张力减弱,肌容积减少,右下肢膝腱反射减弱,跟腱反射未引出,无感觉异常,双侧病理反射阴性,余查体未见异常。

实验室检查:肌酸激酶600 U/L(正常值< 164 U/L), 肌酸激酶同工酶 17.00 ng/ml(正常值 2.00~7.20 ng/ml), 肌红蛋白149 ng/ml(正常值 23.00~112.00 ng/ml), D-二聚体 3 340.00 ng/ml(正 常值80~500 ng/ml)。甲功3项、降钙素原、C反应蛋 白、常规免疫、肿瘤标志物、免疫球蛋白+补体、风湿 免疫相关抗体未见明显异常。头部核磁未见异常。 腰骶丛神经 MR 平扫+增强: 左侧骶 1、2 神经根束膜 囊肿可能性大,腰椎 MR:腰5-骶1椎间盘轻度突出。 肺部CT: 左肺下叶外基底段结节, 性质倾向良性。 腹部超声:脂肪肝。肌电图示:右下肢呈神经源性改 变(根或以上水平受损可能);左胫前肌、左腓肠肌可 见神经源性改变(见图2)。进一步完善的腰穿脑脊 液检查示脑脊液无色透明,细胞总数4×10°/L,白细 胞数 4×10°/L, 血抗神经节苷脂抗体阴性。提检全外 显子测序,结果回报前初步诊断为下运动神经元综 合征,待除外肌萎缩侧索硬化症。给予患者营养神 经、针灸、理疗、被动康复训练等对症治疗,患者自觉 右踇趾背屈稍有改善后出院。

全外显子测序提示患者携带 SOD1 基因上的一个杂合错义变异: c. 131A>G: p. H44R。由于先证者父母未能配合验证,变异来源未知。该变异为cDNA的第131位碱基由 A 替换为 G,导致 SOD1 基因第44位密码子由编码组氨酸变为编码精氨酸(见图3)。

获得全外显子测序结果后,从下运动神经元综合征入手剖析患者的诊断。患者无中毒、辐射,无脊髓灰质炎、艾滋病、肠道及水痘带状疱疹病毒感染史,无蜱叮咬史,脑脊液细胞数正常,可除外中毒、感染、辐射等病因,重点筛查免疫、变性及遗传方面。患者偏侧受累,抗神经节苷脂抗体阴性,不符合吉兰-巴雷综合征(guillain-barré syndrome, GBS);患者肿瘤标志物阴性,腹部超声、胸部CT筛查未见占位



图2 患者的肌电图结果

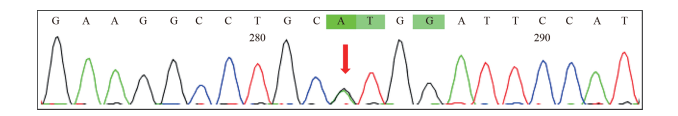


图 3 患者的一代测序峰图

性病变,暂不支持副肿瘤性下运动神经元综合征;患 者肌电图无局灶性运动传导阻滞,且早期出现的明 显的肌肉萎缩也不支持多灶性运动神经病(multifocal motor neuropathy, MMN), 故可除外免疫因素。变 性方面,单肢肌萎缩(monomelic muscular atrophy, MMA)为自限性,多见于青少年,累及上肢时又称平 山病,该病很少累及对侧肢体,与患者的发病年龄及 肌电图上左下肢亚临床神经源性损害不符。遗传方 面,遗传性远端运动神经病(distal hereditary motor neuropathy,dHMN)及脊髓性肌萎缩(spinal muscular atrophy, SMA)为单基因病,全外显子测序结果不支 持。最后,从遗传变性的角度需要鉴别ALS和进行 性肌萎缩(progressive muscular atrophy, PMA)。PMA 主要表现为进行性肌无力或萎缩,不伴上运动神经 元功能障碍,该病比其他类型运动神经元病的进展 慢,暂不能完全除外。患者全外显子测序提示携带 SOD1 基因上的一个杂合错义变异。目前国内尚未 将基因检测纳入ALS诊断标准,但是查阅文献发现 该突变是ALS已知的致病突变,呈常染色体显性遗传。2015年修订的E1 Escorial诊断标准中提出,若基因检测发现患者携带已知的肌萎缩侧索硬化症致病基因,且具有一个区域的上运动神经元或下运动神经元损害证据可诊断为ALS,如果至少有一个一级或二级亲属患有ALS则考虑为遗传性ALS<sup>[3]</sup>。患者查体见下运动神经元损伤证据,并有基因检测支持,故排除PMA,诊断为ALS。嘱患者服用利鲁唑,随访。后患者就诊于北京大学第三医院,维持ALS诊断。2个月后电话随访,患者出现了左下肢的无力。

# 2 讨论

ALS常中年以后隐蔽起病,进展缓慢,是一种 上、下运动神经元同时受累的神经系统变性疾病,通 常以肌无力、萎缩等为主要表现,受累部位常有肌束 震颤,伴有腱反射亢进、病理反射阳性。大多数患者 最终因呼吸衰竭死亡。目前国际公认的ALS诊断标 准共有3种,依次为El Escorial诊断标准、Airlie House 诊断标准和 Awaji-shima 电生理诊断标准,目 前临床上应用最广的是 Airlie House 诊断标准,该标 准将ALS诊断等级分为确诊级肌萎缩侧索硬化、拟 诊级肌萎缩侧索硬化、实验室支持拟诊级肌萎缩侧 索硬化、可能级肌萎缩侧索硬化[4]。基于以上诊断 标准,极大地提高了ALS患者的诊断效率和病情评 判。根据患者的临床表现,最新的ALS分型将肌萎 缩侧索硬化分为8型[5]:(1)经典型,以上肢或下肢肌 无力为首发症状,锥体束征常不明显,是男性患者中 最常见的类型,平均发病年龄在62.8岁,10年生存 率为13%,伴发额颞叶痴呆(frontotemporaldementia, FTD)的占4%;(2)延髓型,以构音障碍和(或)吞咽 困难等延髓损害为特点,发病6个月内锥体束征可 不明显,随着疾病发展,锥体束征可越来越明显,男 性发病率略低于女性,10年生存率仅为3.4%,FTD 发生率最高为9%;(3)连枷臂型,以上肢近端肌无力 和萎缩起病,可伴有上肢的腱反射活跃及 Hoffman 征,肌张力正常,发病后,功能受累必须局限于连枷 肢体至少12个月,男女发病比例为4:1,10年存活率 为17.4%,很少伴发FTD,仅占1.4%;(4)连枷腿型, 主要为双下肢进行性肌无力和萎缩,病程中下肢可 有腱反射活跃或 Babinski 征, 肌张力正常。注意除 外无远端受累的患者,这种情况常提示为经典型。 男女发病比例为1.03:1,10年存活率为12.8%,合 并FTD的占4.1%;(5)锥体束型,以锥体束征为主, 如严重的痉挛性截瘫或四肢瘫,可出现在疾病早期 或晚期,常累及至少两个不同区域,出现明显的下运 动神经元损害的体征,如肌肉无力和萎缩。肌电图 检查存在慢性和活动性的失神经损害。此种表型发 病较早,常于58.3岁左右,男女比例为1.04:1,FTD 较少见,占2.5%,10年存活率为31.9%;(6)呼吸型, 此类型患者普遍存在呼吸障碍,表现为呼吸困难或 端坐呼吸,发病半年内脊髓或球部受累症状较轻,可 伴有上运动神经元损害迹象。该型为最罕见的表 型,男性发病率0.06/10万,女性发病率0.01/10万, 无1例患者存活10年以上;(7)纯下运动神经元综合 征(pure lower motor neuron syndrome, PLMN),病变 累及脑神经运动核和脊髓前角细胞,典型表现为肌 无力或萎缩、腱反射减弱,但感觉不受累,男性发病 率是女性2倍,不伴有FTD,预后与其他表型相比较 好,10年生存率为36.6%;(8)纯上运动神经元综合 征(pure upper motor neuron syndrome, PUMN),临床 表现包括痉挛性截瘫和(或)四肢瘫,病理反射亢进, 腱反射活跃,言语障碍等,此种表型发病率较低(男 女均为0.12/10万),存活时间最长(13.1年),10年 生存率为71.1%。此外还有学者认为原发侧索硬化 (primary lateral sclerosis, PLS)和进行性肌萎缩(progressive muscular atrophy, PMA)为 ALS的特殊类型, PLS较为少见,一般中年起病,4年内仅有上运动神 经元受累表现;PMA仅有下运动神经元受累表现,以 男性患者多见,发病年龄晚,平均生存期比ALS显著 延长。以上两种类型随着疾病的发展会出现上、下 运动神经元同时受累的情况,与ALS表现相似,所以 上述两种类型可以被归为 ALS 的特殊类型[4]。 ALS 复杂的临床分型不仅说明了该病在起病形式、受累 模式、流行病学等方面的多样性,而且也提示了该病 病因的复杂性。

目前发现与fALS发病相关的基因约30多种,包 括铜/锌超氧化物歧化酶(SODI)基因、反式激活反 应-DNA 结合蛋白(TARDBP)基因、肉瘤熔合(FUS) 基因等[6]。其中, SOD1基因突变是我国sALS和 fALS最常见的突变类型,在sALS患者中占1%~2%, fALS占 25%<sup>[7]</sup>。1993年 Rosen 等首次发现 SOD1 突 变引发ALS[8]。SOD1是一种由153个氨基酸组成的 酶,在神经系统、肝脏及红细胞中高表达,参与自由 基清除。目前已知的与ALS相关的SOD1基因突变 超过150个[9]。本文列举了常见的几种SOD1基因突 变类型、遗传方式及临床表现(见表1)。不同突变型 引发的ALS在起病时间、受累部位、病程进展速度等 方面都存在差异。其中A4V突变是最常见的SODI 基因突变,常表现为下运动神经元损伤,平均存活时 间仅1.5年。D90A突变提示上运动神经元损伤较下 运动神经元损伤明显,且疾病进展较慢,患者存活时 间相对较长。G37R、G41D、G93C 突变提示患者存活 期较长,G37R、L38V、L106V突变提示患者发病年龄 较小。其中,L106V基因突变患者的发病年龄是目

### 表 1 常见 SOD1 基因突变位点及其遗传方式、临床表现

突变 位点	遗传 方式	临床表现
A4T	AD	常以下肢无力起病,下运动神经元受累为主,所有患者均存在延髓及呼吸肌受累,平均生存时间为14个月[11]
A4V	AD	最常见,下运动神经元受累为主,上运动神经元较少受累,生存期较短,平均生存时间仅1.5年[12]
D90A	AD/AR	上运动神经元损伤较突出,进展缓慢[12]
G12R	AD	中年发病,下肢无力起病,下运动神经元受累为主,病程进展慢,生存期约3~10年[13]
C111T	AD	起病年龄较晚,以下肢无力起病,下运动神经元受损为主,病情进展较慢[14]
G147A	AD	起病年龄较早,双上肢无力起病,上运动神经元或下运动神经元损伤表现,病情进展较快[14]
G37R	AD	发病年龄较早,生存期较长,不同的家系临床表现差异很大,有很大的遗传异质性[11]
G41S	AD	肢体起病,以下运动神经元受损为主,病情进展较快[15]
G93C	AD	以腿部远端肌无力起病,仅导致下运动神经元损伤,延髓受累较少见,进展较缓慢,平均病程长于12年[16]
H46R	AD	第二常见的基因,下运动神经元损伤起病,生存期较长[17]
1113T	AD	发病时间较晚,生存期波动较大(2.5~20年),不同的家系临床表现差异很大,有很大的遗传异质性[18]
1149T	AD	以延髓受累或球部受累起病,病程进展较快[19]
L106V	AD	多数以下肢远端无力和萎缩起病,该基因突变特征为半数患者伴有神经源性膀胱、感觉障碍和病理组织切片染色见下丘脑和丘脑弥漫性胶质细胞增生,疾病进展较快 $^{[20]}$
L144F	AD	以下肢无力起病,病程进展较慢(20.4±14.6年) <sup>[21]</sup>
L84F	AD	以下肢无力和肌萎缩起病,多为下运动神经元受累,病情进展较缓慢[22]

AD:常染色体显性遗传;AR:常染色体隐性遗传。

前已知最年轻的,为35.5岁,而1113T基因突变的发病年龄最晚,为58.9岁[10]。大多数ALS患者在症状出现后3~5年内死亡,但变异性很大,有些患者在发病后几个月死亡,而有些患者甚至存活了20年。即使是来自于一个家族的不同个体,虽然具有完全相同的基因突变位点,但其生存期和发病年龄上也有很大的差异,这说明还存在其他改变表型的因素有待进一步发现[9]。

本例患者以右下肢疼痛、无力伴肌肉萎缩起病, 感觉系统无阳性体征,症状暂未累及其他肢体,且无 球部损伤症状,定位在脊髓前角及前根。肌电图示 右下肢神经源性改变(根或以上水平),左侧胫前肌、 腓肠肌可见自发电。该肌电图结果一方面支持上述 定位;另一方面也提示左下肢出现亚临床的急性神 经源性损害。患者腰骶从核磁、腰椎核磁未见明确 的脊髓及神经根病变,故除外神经根损伤,定位在脊 髓前角细胞。患者病前有疫苗接种史,有可疑ALS 家族史,定性上应重点考虑免疫因素及遗传变性病。 根据下运动神经元综合征的病因分析,患者免疫相 关等实验室检查结果未见异常,影像学及脑脊液检 查未见炎性改变,暂不支持免疫炎症,故遗传变性病 的可能性大,不除外以下运动神经元损伤起病的 ALS。患者存在ALS家族史,虽然无法明确证实,但 从一元论的角度考虑,基因测序有望为患者早期诊 断提供依据。当患者出现下运动神经元综合征的表 现并疑诊ALS时,完善非受累肢体或节段的肌电图 检查可提供临床前的下运动神经元损伤证据,为了 解疾病全貌,对疾病进行早期诊断提供帮助。全外显 子测序提示患者 SOD1 基因突变, 最终诊断为 ALS。 该患者为杂合子突变,文献报道ALS突变类型大多数 是常染色体显性遗传,D90A、D96N基因突变是常染 色体隐性遗传或常染色体显性遗传[23],基因检测结果 提示患者为 SOD1 基因第二外显子 c. 131A>G:p. H44R突变,该变异为罕见变异。关于H44R基因突变 致ALS的报道最早可以追溯到1995年[24]。2003年首 次对该突变致 ALS 的临床表现进行了详细的描述, 该患者是名58岁的日本女性,因下肢单瘫就诊,有 ALS家族史,发病7个月后死于呼吸衰竭。该患者家 族系谱显示为常染色体显性遗传,具有完全外显 率[25]。2017年,该基因突变位点在我国患者中首次 报道,1例47岁男性以上肢无力起病,9个月后因呼 吸衰竭死亡,不同的是此患者无家族史,该变异为 SOD1 基因上的一个杂合错义突变[7]。本例患者的 发病年龄较前2例更早,单肢瘫起病,临床症状虽然 局限,但肌电图已提示其他肢体的早期受累。目前 患者病程较短,还有待进一步随访以明确患者病情 进展及预后情况。结合已报道的病例特点,推测 H44R基因突变导致的ALS可能主要以下运动神经 元损伤为主,可有球部受累症状,病情进展快,生存 期可能较短。

尽管目前美国FDA已批准利鲁唑作为ALS的首选治疗药物,但其疗效一般,仅延长2~3个月的无气

管切开术生存期<sup>[26]</sup>,患者最终走向死亡。2022年我国ALS诊断和治疗专家共识提示基因检测阳性可加速 ALS的诊断进程,使患者尽早开始接受药物治疗<sup>[27]</sup>。随着测序技术的发展,基因检测的经济成本越来越低,该技术对广大民众的可及性也在提高。在使用该技术早期诊断治疗的同时,我们也要警惕技术滥用及随之而来的伦理问题。

**伦理学声明:** 本研究经由吉林大学中日联谊医院伦理委员会审批(审批号:2023111001)。

利益冲突声明: 所有作者均声明不存在利益 冲突。

作者贡献声明: 王雅欢负责采集数据、数据整理及分析、论文撰写; 杨偲、刘洪雨、何金婷负责采集数据、分析数据、研究指导; 王姣琦负责研究指导、论文修改。

# [参考文献]

- [1] 崔丽英. 专家讲座: 肌萎缩侧索硬化的早期诊断和治疗[J]. 中风与神经疾病杂志,2023,40(1): 3-5.
- [2] 廉 羚,姚晓黎. 运动神经元病的鉴别诊断[J]. 中华神经科杂志,2019,52(10): 841-846.
- [3] Ludolph A, Drory V, Hardiman O, et al. A revision of the El escorial criteria-2015[J]. Amyotroph Lateral Scler Frontotemporal Degener, 2015, 16(5-6): 291-292.
- [4] 樊东升, 陈 璐. 运动神经元病的诊断和分类[J]. 中华神经科 杂志, 2019, 52(12); 1065-1067.
- [5] Chiò A, Calvo A, Moglia C, et al. Phenotypic heterogeneity of amyotrophic lateral sclerosis: a population based study[J]. J Neurol Neurosurg Psychiatry, 2011, 82(7):740-746.
- [6] Maurel C, Dangoumau A, Marouillat S, et al. Causative genes in amyotrophic lateral sclerosis and protein degradation pathways: a link to neurodegeneration [J]. Mol Neurobiol, 2018, 55(8): 6480-6499.
- [7] Wei Q, Zhou Q, Chen Y, et al. Analysis of SOD1 mutations in a Chinese population with amyotrophic lateral sclerosis; a case-control study and literature review[J]. Sci Rep, 2017, 7: 44606.
- [8] Rosen DR, Siddique T, Patterson D, et al. Mutations in Cu/Zn superoxide dismutase gene are associated with familial amyotrophic lateral sclerosis[J]. Nature, 1993, 362(6415): 59-62.
- [9] Robberecht W, Philips T. The changing scene of amyotrophic lateral sclerosis[J]. Nat Rev Neurosci, 2013, 14(4): 248-264.
- [10] 张莉红,李晓光,崔丽英. 肌萎缩侧索硬化与超氧化物歧化酶1基因突变研究进展[J]. 中华神经科杂志,2007,40(1):65-67.
- [11] Aksoy H, Dean G, Elian M, et al. A4T mutation in the *SOD1* gene causing familial amyotrophic lateral sclerosis [J]. Neuroepidemiology, 2003, 22(4):235-238.
- [12] Andersen PM. Amyotrophic lateral sclerosis associated with mutations in the CuZn superoxide dismutase gene[J]. Curr Neurol Neurosci Rep., 2006, 6(1):37-46.
- [13] Gellera C, Castellotti B, Riggio MC, et al. Superoxide dismutase gene mutations in Italian patients with familial and sporadic amyo-

- trophic lateral sclerosis; identification of three novel missense mutations [J]. Neuromuscul Disord, 2001, 11(4); 404-410.
- [14] 牛艳芳. 中国人家族性肌萎缩侧索硬化患者 *SODI* 基因突变的 分子生物学研究[D]. 福州:福建医科大学,2011.
- [15] Berdyński M, Kuźma-kozakiewicz M, Ricci C, et al. Recurrent G41S mutation in Cu/Zn superoxide dismutase gene (SODI) causing familial amyotrophic lateral sclerosis in a large Polish family [J]. Amyotroph Lateral Scler, 2012, 13(1): 132-136.
- [16] 李晓光. 基因检测在肌萎缩侧索硬化诊断中的意义[J]. 诊断学理论与实践,2018,17(4): 387-390.
- [17] Arisato T, Okubo R, Arata H, et al. Clinical and pathological studies of familial amyotrophic lateral sclerosis (FALS) with SODI H46R mutation in large Japanese families [J]. Acta Neuropathol, 2003, 106(6): 561-568.
- [18] Nakamura S, Wate R, Kaneko S, et al. An autopsy case of sporadic amyotrophic lateral sclerosis associated with the I113T *SOD1* mutation[J]. Neuropathology, 2014, 34(1): 58-63.
- [19] Fong GCY, Kwok KHH, Song YQ, et al. Clinical phenotypes of a large Chinese multigenerational kindred with autosomal dominant familial ALS due to Ile149Thr SOD1 gene mutation [J]. Amyotroph Lateral Scler, 2006, 7(3): 142-149.
- [20] Hineno A, Nakamura A, Shimojima Y, et al. Distinctive clinicopathological features of 2 large families with amyotrophic lateral sclerosis having L106V mutation in SOD1 gene[J]. J Neurol Sci, 2012,319(1-2): 63-74.
- [21] Ferrera L, Caponnetto C, Marini V, et al. An Italian dominant FALS Leu144Phe SOD1 mutation: genotype-phenotype correlation [J]. Amyotroph Lateral Scler Other Motor Neuron Disord, 2003, 4 (3): 167-170.
- [22] Vats A, Gourie-devi M, Verma M, et al. Identification of L84F mutation with a novel nucleotide change c. 255G > T in the superoxide dismutase gene in a North Indian family with amyotrophic lateral sclerosis [J]. Amyotroph Lateral Scler Frontotemporal Degener, 2016, 17(3-4): 253-259.
- [23] Majoor-krakauer D, Willems PJ, Hofman A. Genetic epidemiology of amyotrophic lateral sclerosis [J]. Clin Genet, 2003, 63 (2): 83-101.
- [24] Deng HX, Tainer JA, Mitsumoto H, et al. Two novel *SOD1* mutations in patients with familial amyotrophic lateral sclerosis [J]. Hum Mol Genet, 1995, 4(6): 1113-1116.
- [25] Mochizuki Y, Mizutani T, Nakano R, et al. Clinical features and neuropathological findings of familial amyotrophic lateral sclerosis with an H43R mutation in Cu/Zn superoxide dismutase[J]. Rinsho Shinkeigaku, 2003, 43(8): 491-495.
- [26] Saitoh Y, Takahashi Y. Riluzole for the treatment of amyotrophic lateral sclerosis [J]. Neurodegener Dis Manag, 2020, 10 (6): 343-355
- [27] 中华医学会神经病学分会肌萎缩侧索硬化协作组. 肌萎缩侧索硬化诊断和治疗中国专家共识2022[J]. 中华神经科杂志, 2022,55(6): 581-588.

引证本文:王雅欢,杨 偲,刘洪雨,等.SOD1基因p.H44R罕见位点突变致肌萎缩侧索硬化症1例报告并文献复习[J].中风与神经疾病杂志,2023,40(11):1040-1044.